

УДК 536.248, 532.546

Конденсация на поверхности вертикальной трубы, помещенной в зернистый слой с различным контактным углом смачивания*

М.И. Шляев¹, А.Р. Богомолов², П.Т. Петрик³

¹Томский государственный архитектурно-строительный университет

²Институт теплофизики им. С.С. Кутателадзе СО РАН, Новосибирск

³Кузбасский государственный технический университет, Кемерово

Представлены результаты теоретических и экспериментальных исследований по теплообмену при конденсации неподвижного пара на вертикальной трубе, помещенной в зернистый слой с различным контактным углом смачивания. Получены теоретические зависимости оценки интенсивности теплообмена, учитывающие проскальзывание конденсата на поверхностях зерен, и показано их удовлетворительное согласование с экспериментальными данными авторов.

1. ТЕПЛООБМЕН ПРИ КОНДЕНСАЦИИ В ЩЕЛИ С ПРОСКАЛЬЗЫВАНИЕМ ПЛЕНКИ ЖИДКОСТИ НА БОКОВЫХ СТЕНКАХ

В ряде областей техники встречаются процессы конденсации пара, протекающие в сложных условиях, например, в узких щелях на охлаждаемой или нагреваемой поверхности. Задача по гидродинамике течения пленки конденсата и теплопередаче чистого насыщенного неподвижного пара в узкой щели при полном прилипании конденсата к боковым стенкам решена в [1]. Поставим задачу конденсации пара на охлаждаемой вертикальной поверхности с проскальзыванием конденсированного пара (конденсата) на боковых нетеплопроводных ребрах (рис. 1).

Уравнение движения пленки конденсата

$$\frac{\partial^2 v_x}{\partial y^2} + \frac{\partial^2 v_x}{\partial z^2} = -\frac{g}{\nu}. \quad (1)$$

Уравнение теплообмена

$$\partial^2 T / \partial y^2 = 0.$$

Граничные условия:

– постоянства температуры и прилипания конденсата на торцевой стенке при $y = 0$ —

$$T = T_c, \quad v_x(x, y, z) = 0,$$

* Работа выполнена при финансовой поддержке РФФИ (№ 07-08-96027).

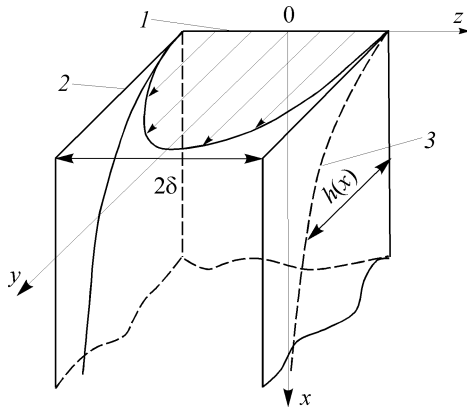


Рис. 1. Схема течения конденсата в вертикальной щели: 1 — охлаждаемая поверхность (торцевая стенка), 2 — ребро (боковая стенка), 3 — конденсат (поверхность пленки).

– равенства температуры конденсата температуре насыщения и отсутствия напряжения на поверхности пленки при $y = h(x)$ —

$$T = T_{\text{н}}, \quad \frac{\partial v_x(x, y, z)}{\partial y} = 0,$$

– проскальзывания конденсата на боковой стенке при $z = \pm \delta$ —

$$\frac{\partial v_x(x, y, z)}{\partial z} = \beta v_x(x, y, z), \quad (2)$$

где β — коэффициент трения скольжения на боковых поверхностях [2]. На торцевой стенке обязательно должно быть полное прилипание, иначе пленочная конденсация не реализуется.

Будем полагать, что для ламинарного движения пленки параболический закон скорости выполняется и для течения с проскальзыванием

$$v_x = az^2 + bz + c.$$

Выполнение условия (2) дает $\left. \frac{\partial v_x}{\partial z} \right|_{z=\delta} = 2a\delta + b$.

При $z = 0$ скорость $v_x = v_{x_0}$, где v_{x_0} — скорость на оси, функция координат x и y . Условию $\left. \frac{\partial v_x}{\partial z} \right|_{z=0} = 0$ соответствует максимум скорости, откуда $b = 0$. На оси

симметрии течения $v_{x_0} = v_x|_{z=0} = c$. Так что $v_x = az^2 + v_{x_0}$.

Поставим условие (2):

$$\left(2az + \frac{\partial v_{x_0}}{\partial z} \right)_{z=\pm\delta} = \beta (a\delta^2 + v_{x_0}),$$

где $v_{x_0} = f(x, y)$ и от z не зависит, так что $\partial v_{x_0} / \partial z = 0$ и

$$2a\delta = \beta (a\delta^2 + v_{x_0}), \quad \text{откуда} \quad a = \frac{\beta}{2\delta - \beta\delta^2} v_{x_0} = \alpha v_{x_0}.$$

Таким образом,

$$v_x = v_{x_0} (\alpha z^2 + 1), \quad (3)$$

где

$$\alpha = \frac{\beta}{2\delta - \beta\delta^2}. \quad (4)$$

Из (4) следует, что при $\beta = 0$ коэффициент $\alpha = 0$ и при $\beta \rightarrow \infty$ — $\alpha \rightarrow -\frac{1}{\delta^2}$.

Так что

$$-\frac{1}{\delta^2} \leq \alpha \leq 0. \quad (5)$$

Подставим выражение для v_x (3) в уравнение движения (1), получим при $z = 0$

$$\frac{\partial^2 v_{x_0}}{\partial y^2} + \frac{2\alpha}{\alpha z^2 + 1} \Big|_{z=0} v_{x_0} + \frac{g}{v} \frac{1}{\alpha z^2 + 1} \Big|_{z=0} = 0. \quad (6)$$

Обозначим

$$A = \frac{2\alpha}{\alpha z^2 + 1} \Big|_{z=0}, \quad B = \frac{g}{v} \frac{1}{\alpha z^2 + 1} \Big|_{z=0}. \quad (7)$$

Тогда уравнение (6) переписывается в виде: $v_{x_0}'' + Av_{x_0} + B = 0$. Заменим $v_{x_0} + B/A$ на v , получим линейное уравнение второго порядка $v'' + Av = 0$. Здесь $A < 0$ в соответствии с (5) и (7).

Решение для v найдем в виде [3]

$$v = c_1 e^{\sqrt{-A}y} + c_2 e^{-\sqrt{-A}y},$$

откуда будем иметь

$$v_{x_0} = a_1 e^{\sqrt{-A}y} + a_2 e^{-\sqrt{-A}y} - B/A.$$

Постоянные a_1 и a_2 найдем из условий:

$$\begin{aligned} \text{при } y = 0 & \quad v_{x_0} = 0, \\ \text{при } y = h(x) & \quad \frac{\partial v_{x_0}}{\partial y} \Big|_{y=h} = 0. \end{aligned}$$

Решение будет иметь вид

$$v_{x_0} = \frac{B/A}{e^{-2\sqrt{-A}h} + 1} \left[e^{-2\sqrt{-A}h} (e^{\sqrt{-A}y} - 1) + (e^{-\sqrt{-A}y} - 1) \right].$$

Рассмотрим два предельных случая вязкого течения (полное прилипание) $\alpha = -\frac{1}{\delta^2}$ и идеального течения (полное проскальзывание) $\alpha = 0$.

1. Полное прилипание: $\alpha = -\frac{1}{\delta^2}$, $\sqrt{-Ah} \rightarrow \infty$ $\left(\frac{\sqrt{2}h}{\delta} \rightarrow \infty \right)$ для узкой щели,

так что

$$v_{x_0} = -\frac{B}{A} = -\frac{g}{v} \frac{1}{2\alpha} = \frac{g}{v} \frac{\delta^2}{2}, \quad \bar{v}_x = \frac{v_{x_0}}{\delta} \int_0^\delta (\alpha z^2 + 1) dz = \frac{v_{x_0}}{\delta} \left(-\frac{1}{\delta^2} \frac{\delta^3}{3} + \delta \right) = \frac{2}{3} v_{x_0},$$

$$\bar{v}_x = \frac{1}{3} \frac{g \delta^2}{v}.$$

Как видим, это решение совпадает с решением в [1] для чисто вязкого течения в узкой щели и, соответственно, будут совпадать и толщина пленки и коэффициент теплоотдачи, полученные в этой работе.

2. Полное проскальзывание: $\alpha = 0$, $A = 0$. В этом случае надо рассмотреть предел v_{x_0} при $\alpha \rightarrow 0$, $A \rightarrow 0$. Имеем неопределенность типа 0/0, которая раскрывается по правилу Лопиталья после двойного дифференцирования числителя и знаменателя. В результате получим

$$\bar{v}_x = \bar{v}_{x_0} = \frac{1}{3} \frac{gh^2}{\nu}, \quad (8)$$

$$v_{x_0} = \frac{gh^2}{\nu} \left[\frac{y}{h} - \frac{1}{2} \left(\frac{y}{h} \right)^2 \right], \quad \bar{v}_{x_0} = \frac{1}{h} \int_0^h v_{x_0} dy.$$

Уравнение теплообмена для случая постоянства температуры на стенке трубы запишется в виде

$$\alpha_k (T_H - T_c) dx = rdG, \quad \alpha_k = \lambda/h, \quad (9)$$

где массовый расход конденсата

$$G = \rho \bar{v}_x h. \quad (10)$$

Подставляем (10) и (8) в (9), получим дифференциальное уравнение для h

$$h^3 \frac{dh}{dx} = \frac{\lambda (T_H - T_c) \nu}{r \rho g},$$

откуда, интегрируя последнее выражение с учетом условия $x = 0$, $h = 0$, найдем толщину пленки и коэффициент теплоотдачи в виде:

$$h_{\text{ид}} = \sqrt[4]{\frac{4\lambda (T_H - T_c) \nu x}{r \rho g}}, \quad \alpha_{k_{\text{ид}}} = \sqrt[4]{\frac{\lambda^3 r \rho g}{4(T_H - T_c) \nu x}},$$

а среднее значение коэффициента теплоотдачи на стенке высотой H

$$\bar{\alpha}_{k_{\text{ид}}} = \frac{1}{H} \int_0^H \alpha_{k_{\text{ид}}} dx = \frac{4}{3} \sqrt[4]{\frac{\lambda^3 r \rho g}{4(T_H - T_c) \nu H}}. \quad (11)$$

Решение (11) совпадает с известным решением Нуссельта о теплообмене пленки конденсата на плоской стенке [4].

Соотношение (11) можно записать в критериальной форме:

$$\overline{\text{Nu}}_{\text{ид}} = \frac{\bar{\alpha}_{k_{\text{ид}}} H}{\lambda} = 0,943 (\text{Ga}_H \text{Pr K})^{1/4}, \quad \text{где } \text{Ga}_H = \frac{gH^3}{\nu^2}, \quad \text{Pr K} = \frac{r\mu}{\lambda(T_H - T_c)}.$$

Для полностью вязкого течения в щели высотой H и ламинарного движения конденсата

$$\overline{\text{Nu}}_{\text{в}} = \frac{\bar{\alpha}_{k_{\text{в}}} H}{\lambda} = 0,577 L (\text{Ga Pr K})^{1/2}, \quad L = \frac{\delta}{H}, \quad h_{\text{в}} = \sqrt{\frac{6\lambda (T_H - T_c) \nu x}{r \rho g \delta^2}},$$

$$\alpha_{\kappa_B} = \sqrt{\frac{\lambda r \rho g \delta^2}{6(T_H - T_c) \nu x}}, \quad \bar{\alpha}_{\kappa_B} = \sqrt{\frac{\lambda r \rho g \delta^2}{3(T_H - T_c) \nu H}}.$$

Средняя скорость для полного решения будет равна

$$\bar{v}_x = \frac{1}{\delta h} \int_0^{\delta} \int_0^h v_{x_0} (\alpha z^2 + 1) dy dz = \frac{1}{h} \left(\alpha \frac{\delta^2}{3} + 1 \right) \int_0^h v_{x_0} dy, \quad (12)$$

где

$$\frac{B}{A} = \frac{g}{\nu} \frac{1}{2\alpha} = \text{const.}$$

Вычисление интеграла (12) дает выражение для средней скорости в виде

$$\bar{v}_x = - \left(\alpha \frac{\delta^2}{3} + 1 \right) \frac{\frac{gh^2}{\nu}}{e^{-2\beta} + 1} \frac{\left[-1 + \frac{1}{\beta} - \left(\frac{1}{\beta} + 1 \right) e^{-2\beta} \right]}{\beta^2}, \quad (13)$$

где

$$\beta = \frac{h}{\delta} \sqrt{2\kappa}, \quad \alpha = -\frac{\kappa}{\delta^2}, \quad 0 \leq \kappa \leq 1.$$

Здесь $\kappa = 0$ соответствует полному проскальзыванию, $\kappa = 1$ — полному прилипанию конденсата на боковых стенках щели.

Решение (13) в предельных случаях дает:

$$\bar{v}_x \xrightarrow{\alpha \rightarrow 0 (\kappa=0)} \frac{1}{3} \frac{gh^2}{\nu}, \quad \bar{v}_x \xrightarrow{\alpha \rightarrow -\frac{1}{\delta^2} (\kappa=1)} \frac{1}{3} \frac{g\delta^2}{\nu}. \quad (14)$$

Использование скорости по формуле (13) для получения общей зависимости для коэффициента теплоотдачи при конденсации пара в щели с проскальзыванием жидкости на боковых стенках затруднительно в виду неявной зависимости толщины пленки $h(x)$ от других параметров процесса, входящих в нее, что в свою очередь осложняет и переход от щелевой модели к реальному зерновому слою у стенки трубы. В этой связи подойдем к решению поставленной задачи из гидравлических представлений о зернистом слое, опираясь на предельные соотношения (14) для скорости конденсата в пристенных поровых каналах.

2. ТЕПЛООБМЕН ПРИ КОНДЕНСАЦИИ НА ВЕРТИКАЛЬНОЙ ТРУБЕ, ПОМЕЩЕННОЙ В ЗЕРНИСТЫЙ СЛОЙ С РАЗЛИЧНЫМ КОНТАКТНЫМ УГЛОМ СМАЧИВАНИЯ

Оценим порозность каналов у стенки трубы и их эффективный диаметр. Рассмотрим полный объем кольца V_{Σ} с внутренним диаметром, равным диаметру трубы D , и внешним диаметром, равным $D + 2d_{\text{ш}}$ ($d_{\text{ш}}$ — диаметр зерна засыпки) и толщиной $d_{\text{ш}}$ (рис. 2). Порозность будет равна:

$$\varepsilon = 1 - \frac{V_{\text{ш}}}{V_{\Sigma}} = 1 - \frac{\pi}{6} = 0,476,$$

где $V_{\text{ш}}$ — объем шаров в кольце.

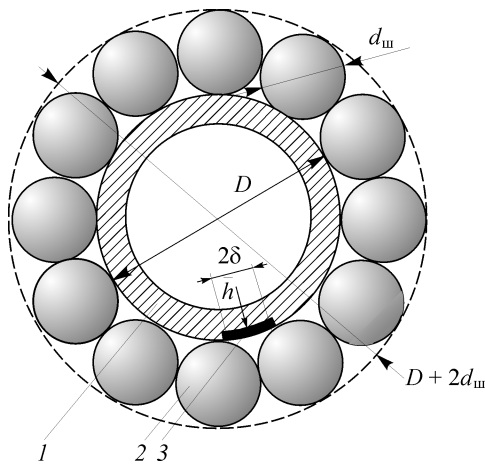


Рис. 2. Схема для определения порозности, эффективного диаметра каналов у стенки трубы и гидравлического диаметра пленки конденсата:

1 — охлаждаемая поверхность (торцевая стенка), 2 — ребро (шаровая засыпка), 3 — конденсат (поверхность пленки).

Если рассмотреть порозность на внешнем кольце расчетного объема $D + d_{ш}$, т. е. вблизи стенки трубы, она будет равна

$$\varepsilon = 1 - \frac{\pi}{6} \frac{1 + (d_{ш}/D)}{1 + 1/2(d_{ш}/D)}.$$

Так, для опытных данных [5], где $d_{ш} = 3,2$ мм, $D = 8$ мм, порозность $\varepsilon \approx 0,389$, а диаметр порового канала у стенки, согласно [6], будет равен

$$d_p = \frac{2}{3} \frac{\varepsilon}{1 - \varepsilon} d_{ш} = \frac{2}{3} \cdot \frac{0,389}{0,611} \cdot 3,2 = 1,36 \text{ мм.} \quad (15)$$

Из (15) видно, что размер канала весьма мал и эффективное течение в нем будет ламинарным и безынерционным.

Рассмотрим гидродинамику такого эффективного течения. Гидравлическое сопротивление в поровом канале должно уравниваться силой тяжести

$$\lambda \frac{1}{2d_r} \rho \bar{v}_x^2 = \rho g. \quad (16)$$

Из (16) имеем

$$\bar{v}_x^2 = \frac{2gd_r}{\lambda}, \quad (17)$$

где d_r — гидравлический диаметр канала. Для ламинарного течения в канале

$$\lambda = \frac{\Phi 64}{\text{Re}_d}, \quad \text{Re}_d = \frac{\bar{v}_x d_r}{\nu}, \quad (18)$$

где Φ — коэффициент формы канала. Для прямоугольного канала $\Phi = 1,5$; для круглого — $\Phi = 1$. Подставляем (18) в (17), получим

$$\bar{v}_x = \frac{gd_r^2}{32\nu\Phi}. \quad (19)$$

Если $\Phi = 1,5$ и при $\delta \ll h$

$$d_r = 4F/\Pi = 4h\delta/(h + \delta) \approx 4\delta, \quad (20)$$

то

$$\bar{v}_x = 1/3 \cdot g\delta^2/\nu. \quad (21)$$

Здесь F — площадь поперечного сечения течения, Π — смоченный периметр (см. рис. 1): $F = 2\delta h$, $\Pi = 2\delta + 2h$.

Формула (21) полностью совпадает с предельным выражением, получаемым из полного решения (13) при вязком режиме без проскальзывания для условия $\sqrt{2}h/\delta \gg 1$.

Рассмотрим уравнение теплообмена

$$qx = r\rho\bar{v}_x h. \quad (22)$$

Здесь q — постоянный удельный тепловой поток через стенку трубы; зерна засыпки считаются нетеплопроводными. Из (22) имеем $h = qx/r\rho\bar{v}_x$. Среднее значение толщины пленки на рабочей части трубы высотой H будет равно

$$\bar{h} = \int_0^H h dx = 1/2 \cdot qH/r\rho\bar{v}_x.$$

Следовательно, средний коэффициент теплоотдачи определится соотношением

$$\bar{\alpha} = \lambda/\bar{h} = 2\lambda r\rho\bar{v}_x/qH$$

и число Нуссельта в соответствии с (19) выразится как

$$\overline{\text{Nu}}_H = \bar{\alpha}H/\lambda = 2r\rho\bar{v}_x/q = 2r\rho/q \cdot gd_r^2/32\nu\Phi.$$

Путем несложных преобразований можно получить

$$\overline{\text{Nu}}_H = \frac{r\rho\nu}{qH} \frac{gH^3 d_r^2}{\Phi 16\nu^2} \frac{1}{H^2} = \frac{1}{16\Phi} \frac{\text{Ga}_H}{\text{Re}} \left(\frac{d_r}{H} \right)^2.$$

Из рассмотрения рис. 2 уместно положить

$$d_3 \sim d_r = n\bar{h}, \quad (23)$$

но

$$\bar{h}/H = \lambda/\bar{\alpha}H = 1/\overline{\text{Nu}}_H.$$

Следовательно,

$$\overline{\text{Nu}}_H^3 = \frac{n^2}{16\Phi} \frac{\text{Ga}_H}{\text{Re}} \quad \text{или} \quad \text{Nu}^* = \frac{\overline{\text{Nu}}_H}{(\text{Ga}_H)^{1/3}} = \left(\frac{n^2}{16\Phi} \right)^{1/3} \text{Re}^{-1/3}.$$

В соответствии с опытными данными [5]

$$\left(\frac{n^2}{16\Phi} \right)^{1/3} \approx 3,54. \quad (24)$$

Примем $\Phi = 1,5$ как для плоского канала, тогда из (24) получим $n = 32,63$. Оценим толщину пленки для нашего случая по формулам (23) и (15):

$$\bar{h} = d_3/n = 1,36/32,63 = 0,0417 \text{ мм}. \quad (25)$$

Как видно из графика работы [5], рис. 3, эффективные толщины пленки — расчетная (25) и опытная — хорошо согласуются между собой, что оправдывает положение (23). С другой стороны, видно, что толщина пленки мала в сравнении с гидравлическим диаметром канала

$$\bar{h} = d_r/n \approx 0,0306d_r.$$

Следовательно, $d_r/\bar{h} = n \gg 1$ и из (20) получим, полагая с очевидностью (см. рис. 2) $\delta \sim d_3$, $d_r \sim d_3$,

$$d_r \approx 4\bar{h}.$$

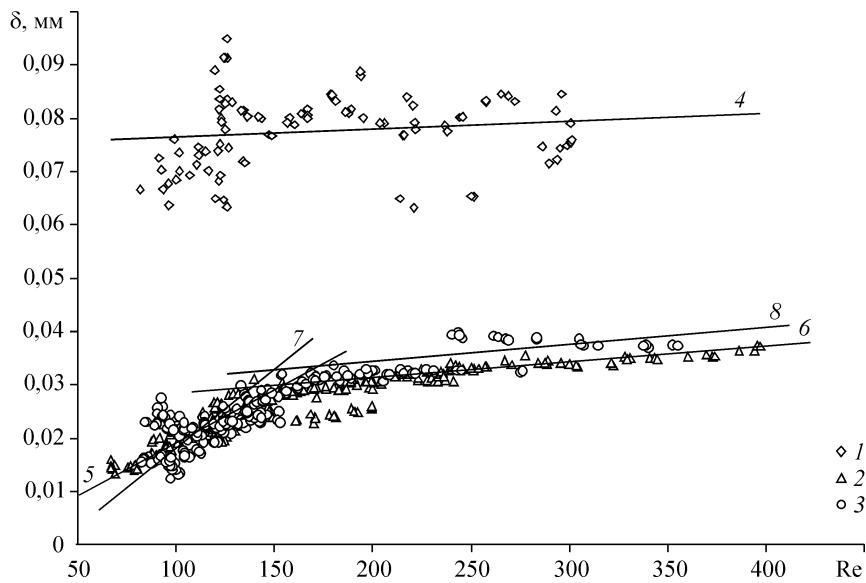


Рис. 3. Изменение средней толщины пленки при конденсации водяного пара на вертикальной трубе от числа Рейнольдса пленки.
 Гладкая труба (1), труба в гидрофильной засыпке 3,2 мм (2), труба в частично гидрофобной засыпке 3,2 мм (3), линии, осредняющие экспериментальные данные [5] (4–8).

Из этих рассуждений следует, что в условиях конденсации с засыпкой среднюю скорость конденсата можно принимать по формуле (21), при этом, исходя из модели плоской щели, размер теплопередающей стороны щели 2δ определяется из условия:

$$F = 2\delta\bar{h} = \frac{\pi d_{\Gamma}^2}{4} = \frac{\pi}{4} (4\bar{h})^2,$$

откуда

$$\delta = 2\pi\bar{h}. \quad (26)$$

Отсюда видно, что длина смачивания стенки связана с длиной смоченного периметра. Действительно, учитывая (25),

$$\delta = \frac{2\pi d_{\Gamma}}{n} = \frac{2}{n} l_{\Gamma},$$

где l_{Γ} — смоченный периметр поперечного сечения эффективного порового канала. Так что смоченная длина на поверхности трубы

$$2\delta = \frac{4}{n} l_{\Gamma} \text{ или } \frac{2\delta}{l_{\Gamma}} = \frac{4}{n} = 0,12 \text{ при } n = 32,63. \quad (27)$$

Выражение (27) говорит о том, что течение в поровом канале зернистого слоя у стенки можно рассматривать как течение в узкой щели. При этом для теплообмена толщина канала связывается с толщиной пленки соотношением (26). Проверим это положение, исходя из полученного решения.

Приняв скорость конденсата по формуле (21), запишем уравнение теплообмена в виде

$$\frac{qx}{2\rho} = \bar{v}_x h = \frac{1}{3} \frac{g\delta^2}{\nu} h. \quad (28)$$

Подставив (26) в (28), получим

$$h = \left(\frac{qv}{r\rho g (2\pi)^2} \right)^{1/3} x^{1/3}. \quad (29)$$

С учетом (29) коэффициент теплоотдачи

$$\alpha = \frac{\lambda}{h} = \lambda \left(\frac{r\rho g (2\pi)^2}{qv} \right)^{1/3} x^{-1/3},$$

и его среднее значение

$$\bar{\alpha} = \frac{1}{H} \int_0^H \alpha dx = \frac{3}{2} \lambda \left(\frac{r\rho g (2\pi)^2}{qvH} \right)^{1/3},$$

откуда

$$\overline{Nu}^* = \frac{3}{2} \left(\frac{2\pi}{\sqrt{3}} \right)^{2/3} Re^{-1/3} = 3,54 Re^{-1/3}, \quad (30)$$

где

$$Re = \frac{qH}{r\mu}, \quad \overline{Nu} = \frac{\overline{Nu}_H}{Ga_H^{1/3}}, \quad \overline{Nu}_H = \frac{\bar{\alpha}H}{\lambda}, \quad Ga_H = \frac{gH^3}{\nu^2}.$$

Теоретический результат (30) практически точно совпадает с экспериментом [5].

При полном проскальзывании средняя скорость конденсата

$$\bar{v}_x = \frac{1}{3} \frac{gh^2}{\nu}.$$

При постоянстве плотности теплового потока на стенке из (28) получим известную формулу Нуссельта

$$\overline{Nu}^* = \frac{3}{2} (3Re)^{-1/3} = 1,04 \cdot Re^{-1/3}. \quad (31)$$

Следовательно, при частичном проскальзывании конденсата на зернах засыпки можно положить

$$\delta = 2\pi mh. \quad (32)$$

При этом должно быть:

$$\left. \begin{aligned} m = 1 & \quad \text{при } \kappa = 1, \\ m = \frac{1}{2\pi} & \quad \text{при } \kappa = 0. \end{aligned} \right\} \quad (33)$$

Условию (33) отвечает зависимость

$$m = \frac{(2\pi - 1)\kappa + 1}{2\pi}. \quad (34)$$

Подставляя в (28) формулы (32) и (34), получим общее решение для теплообмена трубы в засыпке при конденсации в виде

$$\overline{Nu}^* = \frac{3}{2} \left[\frac{(2\pi - 1)\kappa + 1}{\sqrt{3}} \right]^{2/3} Re^{1/3}. \quad (35)$$

Зависимость (35) при $\kappa = 1$ переходит в (30) и при $\kappa = 0$ — в (31).

Расчетные кривые и экспериментальные данные представлены на рис. 4. Заметим, что опытным данным 3 (краевой угол смачивания равен 90°) отвечает зависимость

$$\overline{Nu}^* = 2,92 \cdot Re^{-1/3}, \quad (36)$$

соответствующая $\kappa = 0,7$.

Как видно на рис. 4, теория и экспериментальные данные хорошо согласуются при $Re > 150$. При $Re < 150$ опытные значения коэффициентов теплоотдачи выше получаемых в расчетах по формуле (30), по-видимому, вследствие иного механизма течения формирования пленки на стенке трубы, что требует специального рассмотрения. Как следует из опытных данных, эффект проскальзывания конденсата в этой области не проявляется на теплообмене. Причиной этого может быть то, что теплопередающая поверхность пленки при невысоких значениях расхода конденсата незначительно соприкасается с поверхностью шаров засыпки при смачивании, и поэтому при частичном проскальзывании его эффект будет также слабо проявляться на теплообмене. Такая ситуация складывается в том случае, когда за счет сил поверхностного натяжения образуются застойные зоны, заполненные конденсатом в предельных ограниченных, не вымываемых потоком, областях контакта шаров со стенкой, по которой стекает пленка.

Исходя из вышесказанного, правомерно положить (см. рис. 2) $2\delta \sim \pi d_3$ или

$$2\delta \approx \frac{\pi}{4} d_3 = \frac{\pi}{4} \left(\frac{2}{3} \frac{\varepsilon}{1-\varepsilon} d_{ш} \right) = \frac{\pi}{6} \left(\frac{\varepsilon}{1-\varepsilon} \right) d_{ш}, \quad (37)$$

где πd_3 — периметр поперечного сечения порового канала.

Как видно из (37), размер δ для такого режима гидродинамики и теплообмена в порах у стенки является предельной постоянной величиной, определяющейся только параметрами засыпки — размером зерен и порозностью. Так, для условий опытов [5] ($\varepsilon = 0,389$, $d_{ш} = 3,2$ мм) получим

$$\delta = \frac{\pi}{12} \frac{\varepsilon}{1-\varepsilon} d_{ш} = 0,17 d_{ш}.$$

Решением уравнения теплообмена (28) при $\delta = \chi d_{ш} = \text{const}$, где

$$\chi = \frac{\pi}{12} \frac{\varepsilon}{1-\varepsilon} d_{ш},$$

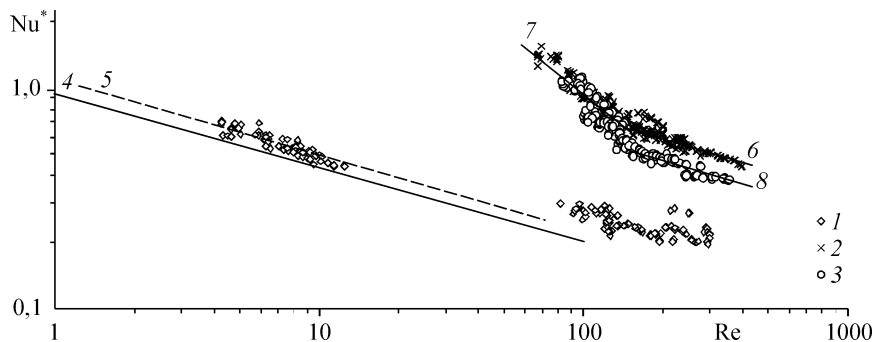


Рис. 4. Теплообмен при конденсации водяного пара на вертикальной трубе, упакованной в зернистый слой с различными свойствами поверхностей.

Трубы: гладкая (1), в гидрофильной (2) и гидрофобной (3) засыпках; расчет по зависимостям:

$$\overline{Nu}^* = 0,95 \cdot Re^{-1/3} \text{ (4)}, 1,04 \cdot Re^{-1/3} \text{ (5)}, 3,54 \cdot Re^{-1/3} \text{ (6)}, 92,5 \cdot Re^{-1} \text{ (7)}, 2,92 \cdot Re^{-1/3} \text{ (8)}.$$

будет следующая зависимость:

$$\overline{\text{Nu}}^* = C/\text{Re}.$$

Здесь

$$C = \frac{2}{3} \chi^2 \text{Ga}_H^{2/3} \left(\frac{d_{\text{ш}}}{H} \right)^2. \quad (38)$$

Подставляя опытные данные [5] в (38) при $\chi = 0,17$, получим $C = 92,5$. Зависимость

$$\overline{\text{Nu}}^* = 92,5/\text{Re}$$

представлена на рис. 4 и, как видно на графике, удовлетворительно описывает опытные данные.

Отметим, что при достижении некоторых критических малых значений чисел Re следует ожидать автомодельность теплообмена от этого критерия в силу того, что в этих условиях сплошного пленочного течения на стенке образоваться не может.

ОБОЗНАЧЕНИЯ

| | |
|-----------------------------------------------------------------|-----------------------------------------------------------------------------------------------------|
| v_x — продольная скорость конденсата в пленке, | 2δ — ширина канала, |
| T — абсолютная температура конденсата, | h — толщина пленки конденсата, |
| T_c — температура торцевой стенки канала, | λ — коэффициент теплопроводности конденсата, |
| T_n — температура насыщения на поверхности пленки конденсата, | r — удельная теплота фазового перехода конденсата, |
| g — ускорение силы тяжести, | H — рабочая высота трубы, |
| ν — кинематическая вязкость конденсата, | $\text{Re} = qH/r\mu$ — число Рейнольдса, |
| ρ — плотность конденсата, | $\text{Ga}_H = gH^3/\nu^2$ — число Галилея, |
| μ — динамическая вязкость конденсата, | $\overline{\text{Nu}}^*$ — среднее значение модифицированного числа Нуссельта по высоте трубы H . |

СПИСОК ЛИТЕРАТУРЫ

1. Накоряков В.Е., Мухин В.А., Петрик П.Т. Теплообмен при конденсации неподвижного пара в узких щелях // Теплоперенос при испарении. — Новосибирск: Ин-т теплофизики СО АН СССР, 1982. — С. 61–69.
2. Хаппель Дж., Бреннер Г. Гидродинамика при малых числах Рейнольдса. — М.: Мир, 1965. — 630 с.
3. Камке Э. Справочник по обыкновенным дифференциальным уравнениям. — М.: Наука, 1971. — 576 с.
4. Накоряков В.Е., Горин А.В. Теплоперенос в двухфазных системах. — Новосибирск: Ин-т теплофизики СО АН СССР, 1994. — 431 с.
5. Bogomolov, A.R., Petrik P.T., Dvorovenko I.V. Condensation of steam on a vertical tube in a granulated material // Two-phase systems for ground and space applications: The second international topical team Workshop, October 26-28, 2007, Kyoto, Japan. — С. 93–95.
6. Аэров, М.Э., Тодес О.М., Наринский Д.А. Аппараты со стационарным зернистым слоем. — М.: Химия, 1979. — 176 с.

Статья поступила в редакцию 8 ноября 2007 г.